

激光光声振动谱研究表面吸附*

胡长武 朱昂如

(复旦大学应用表面物理国家重点实验室, 上海, 200433)

报道在超真空系统中利用激光光声振动谱研究表面吸附的实验结果。通过振动谱在高背景气压下的可逆物理吸附及位相甄别法研究 NH_3 分子双层吸附生长机理等实例, 展示出激光光声谱是一种较理想的表面吸附研究手段。

关键词: 表面吸附, 分子振动, 激光, 光声光谱

1 引 言

目前振动谱已成为表面分析的重要手段。常用方法中高分辨率能量损失谱(HREELS)虽具有宽的能量扫描范围和高的探测灵敏度(10^{-2} 单层), 但因电子探针使能量分辨率受到限制($>40\text{ cm}^{-1}$), 且易对表面状态产生干扰; 红外反射吸收谱(IRAS)尽管具有高的能量分辨率, 但测量的是巨大背景上的微弱信号, 难以检测强度较弱的分子振动模。因此, 若能发展同时具有高分辨率和高灵敏度, 并能适用于各种吸附条件的表面振动谱技术将是十分理想的, 激光光声振动谱(PAS)正是同时兼有这些优点而逐渐发展成表面研究的新方法^[1~4]。PAS 还兼有光声信号强度直接正比于吸附分子共振吸收的光子能量, 光声信号同时具有振幅和位相而能够提供更多的信息, 测量手段简单经济等优点。

Träger 等人^[2]最先在超高真空系统中利用 PAS 研究 SF_6 在 Ag 膜表面的吸附, 表面灵敏度达到 0.05 ML(单层), 并证明光声信号强度在较宽的功率范围内正比于入射光强。Coulal 等人^[5]利用双光路偏振调制方法, 使 PAS 检测 NH_3 在 Ag 表面吸附的灵敏度提高至 0.005 ML。利用 PAS 研究乙醇在金属表面脱氢化学反应亦获得良好的实验结果^[4]。我们借助 CO_2 激光光声谱研究了 NH_3 分子在金属表面吸附生长机理和吸附动力学行为, 充分利用 PAS 的高能量分辨率, 位相甄别能力及能在较高背景气压下测量的特点, 获得了理想的实验结果。

2 表面分析系统

实验是在国产和自制的超高真空光声光谱仪上进行的, 有关设备的详细描述可参阅文

本文 1990 年 11 月 24 日收到, 修改稿 1991 年 3 月 30 日收到。

* 国家自然科学基金资助项目。

献[6]。整个系统包括 CO_2 激光源, 超高真空系统和光声检测三部分。系统真空度优于 $5 \times 10^{-8} \text{ Pa}$ 。传感元件为 PZT 压电陶瓷(S-4型), 用机械方法紧贴在样品后表面。通过多次 Ar^+ 刻蚀和退火获得清洁的金属表面, 可用俄歇电子能谱加以证实。用四极质谱仪检测吸附气体的纯度和测量热脱附谱。系统还包括液氮冷却和钨丝加热装置。

3 实验结果

3.1 120 K 银表面上 NH_3 分子可逆物理吸附

已有实验结果证明^[7], 120 K 的衬底温度高于 NH_3 在 Ag 表面上弱化学吸附和物理吸附的脱附温度。若想获得该温度上多层物理吸附, 必须在超高真空系统中维持相当高的 NH_3 气分压, 而这已超过常规表面分析手段允许的条件, 但 PAS 能在较高周界气压下进行测量。图 1 为 NH_3 分子在 120 K 清洁 Ag 表面多层物理吸附的光声振动谱, 示出 NH_3 分子的对称形变模 ν_2 的振动峰。Ag 表面上 NH_3 分子的覆盖度 θ_{NH_3} 强烈依赖于 NH_3 分子的暴露气压 P_{NH_3} , P_{NH_3} 增加, θ_{NH_3} 亦增加。反之, 若降低 P_{NH_3} , 则 θ_{NH_3} 随之减小。 NH_3 分子在 120 K Ag 表面多层吸附是可逆物理吸附。当 $\theta_{\text{NH}_3}=5 \text{ ML}$ 时, 真空系统中 NH_3 分子气体分压已超过 $1 \times 10^{-2} \text{ Pa}$ 。然而, 由于吸附态 NH_3 分子的振动频率在 1070 cm^{-1} 附近, 而气相 NH_3 分子的振动频率为 950 cm^{-1} , 因此探测光束的频率远离气相 NH_3 分子的共振频率, 在入射到样品表面以前几乎没有衰减, 不会影响所测信号的归一化。图 1 表明随着 θ_{NH_3} 增加, ν_2 模的振动频率从 1067 cm^{-1} 略有兰移至多层吸附的 1078 cm^{-1} 。我们知道, NH_3 分子 ν_2 振动频率愈高, NH_3 分子间相互作用愈强。该实验结果表明金属表面物理吸附态 NH_3 分子之间的相互作用, 随气相 NH_3 分子背景气压增加而略有加强, 这可解释为 NH_3 分子间距因受挤压而缩短。

3.2 相位甄别法研究表面吸附生长机理

对于薄膜生长和吸附机理的研究, 总希望获取每个单层生长过程的信息。因受光子和电子平均自由程的限制, 由一般光谱和电子能谱不能获得原子级层分辨生长机理的信息, 而光声谱却能用相位甄别的方法获取吸附分子层分辨的振动谱, 我们利用该方法研究了 NH_3 在 85 K Ag 表面上的吸附机理。85 K 衬底温度低于 NH_3 在金属表面多层凝聚的相变温度。我们知道 PAS 测得的光声信号是既有振幅又有相位的波, 尽管 Ag 表面不同吸附层的 NH_3 分子由于本征振动频率相近, 振幅谱相互叠加难以区分, 但因各吸附层 NH_3 分子振动态非辐射退激发途径不同, 探测器接收到的声波相位有所差异, 通过相位测量便可以辨别不同吸附层的光声信号。图 2 是 NH_3 在 85 K 清洁多晶 Ag 表面物理吸附的光声振动谱, 该谱与基底信号相位相同, 每条谱线 NH_3 的覆盖度对应一定 NH_3 暴露气压下达到准平衡吸附时的吸附量。振动谱显示出频率非常相近的两个振动峰 1076 cm^{-1} 和 1081 cm^{-1} , 峰形相互交叠, 由于这两个振动峰对应于不同的吸附构型, 在弛豫过程中有 0.14 rad 的相位差。通过调整锁相放大器的输出相位, 使其与 1076 cm^{-1} 振动峰的光声信号的相位成 $\pi/2$, 便得到只有 1081 cm^{-1} 峰的振动谱(参见图 3)。尽管此时信号强度只是 1081 cm^{-1} 振动峰总强度的分量, 信号较小, 但基底信号几乎为零, 振动谱峰形反而明显。根据 1081 cm^{-1} 振动峰的参数, 可以拟合出 1076 cm^{-1} 振动峰特性, 获得两个峰的振动谱强度随气压的变化关系(参见图

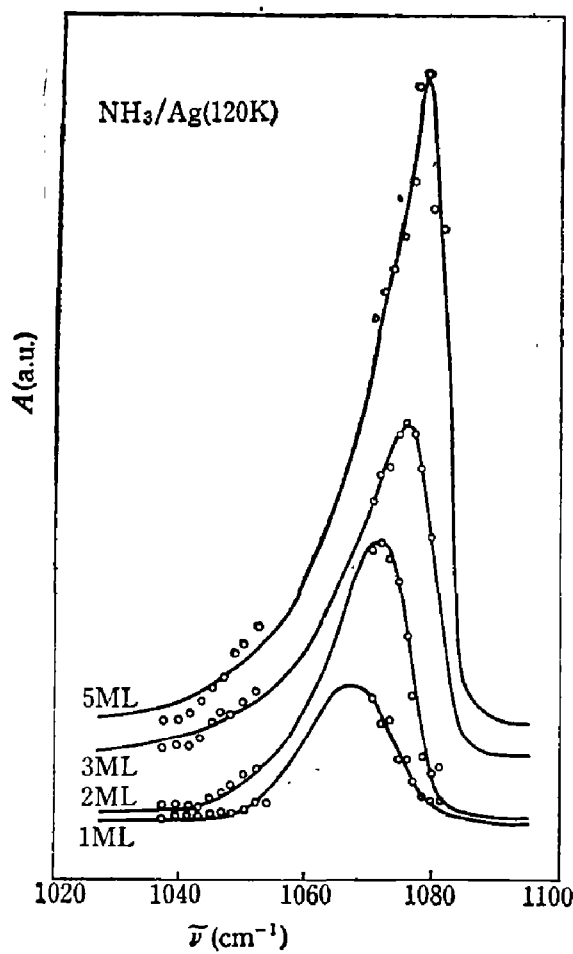


图1 120 K 清洁 Ag 表面吸附态 NH₃ 分子 ν_2 模光声振动谱

Fig. 1 ν_2 vibrational spectra of NH₃ on clean Ag surface at 120 K determined by PAS

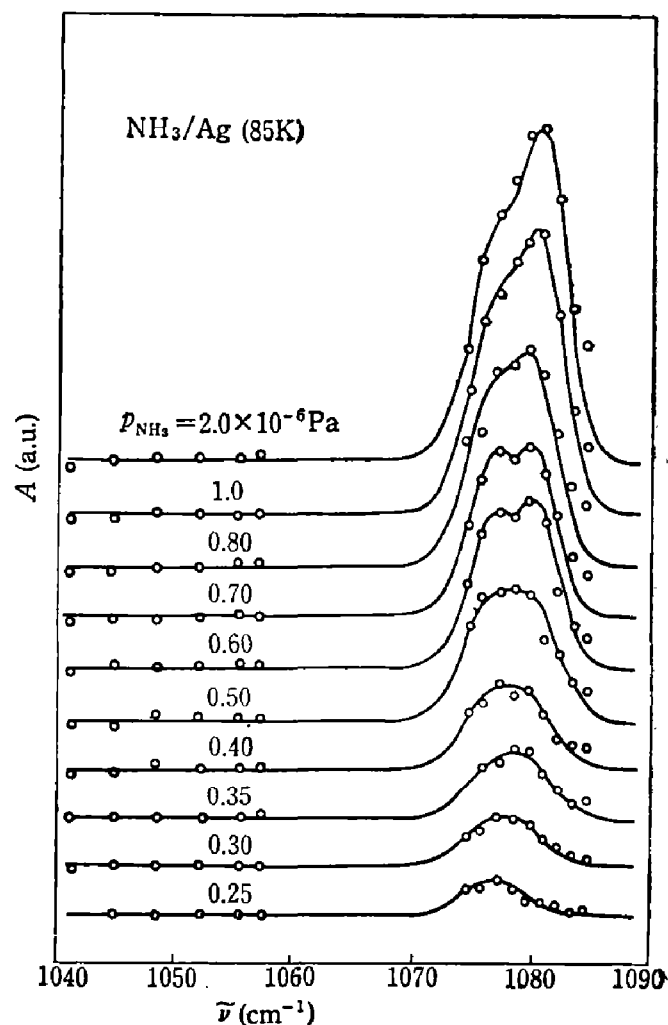


图2 NH₃在 85 K 清洁 Ag 表面吸附的光声振动谱

Fig. 2 ν_2 vibrational spectra of NH₃/Ag at 85 K determined by in-phase component of PAS

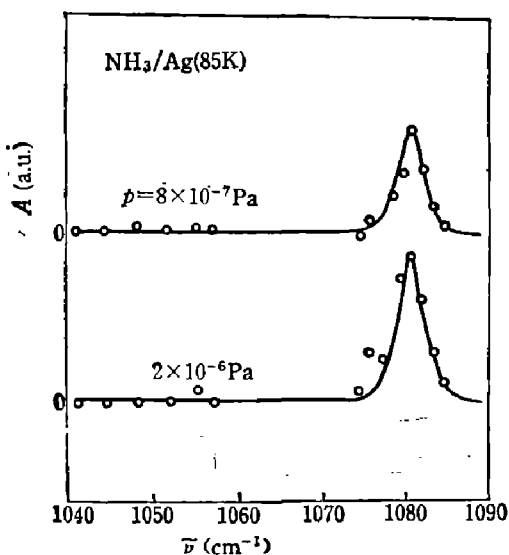


图3 NH₃在 85 K 清洁 Ag 表面吸附正交光声谱
Fig. 3 ν_2 vibrational spectra of NH₃/Ag at 85 K determined by in-quadrature component of PAS

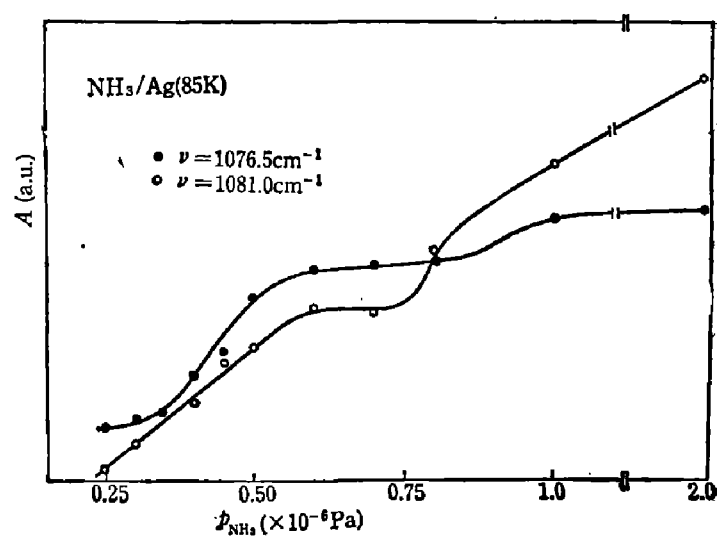


图4 NH₃在 85 K 清洁 Ag 表面上吸附等温线
Fig. 4 Physisorption isotherm for NH₃/Ag at 85 K

4), 即吸附等温线。我们发现这两个峰不仅具有相似的振动特性, 而且对应 NH_3 覆盖度的振动谱强度随 NH_3 暴露气压增加同步增长, 直至满层(1 ML), 因而认为它们分别对应第一吸附层 NH_3 分子的振动谱和多层吸附 NH_3 的振动谱。从吸附等温线可以看出在最初两层吸附过程中, NH_3 分子吸附呈现双层生长模式, 不同于典型的物理吸附层状生长机理。这是首次从实验中观察到双层生长动力学过程。

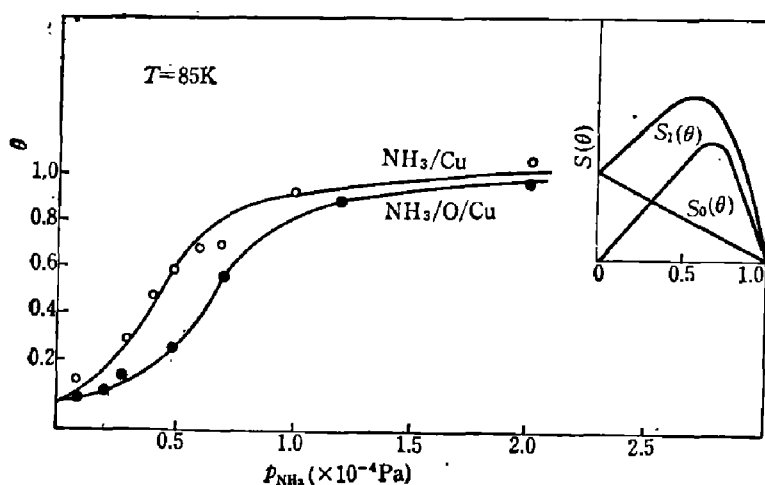


图 5 NH_3 在 85 K 清洁和预吸附 Cu 和 O/Cu 表面上物理吸附等温线

Fig. 5 Physisorption isotherms for NH_3 adsorbed on Cu and O/Cu surfaces at 85 K

3.3 NH_3 在 Cu 表面吸附动力学研究

图 5 是 NH_3 在 85 K 清洁 Cu 表面物理吸附等温线。利用 Fowler 形式吸附等温线拟合实验结果(图中实线)可得 NH_3 在 Cu 表面物理吸附能为 $(23.4+1.8\theta_{\text{NH}_3}) \text{ kJ} \cdot \text{mol}^{-1}$, 其中 θ_{NH_3} 为 NH_3 分子在 Cu 表面上的覆盖度, 与用 TDS 和其它方法得出结果符合得很好。另外, 通过对吸附粘滞系数 $S(\theta)$ 的分析, 可分别获得直接吸附 $S_0(\theta)$ (种子生长) 与前驱态吸附生长 $S_1(\theta)$ 的动力学曲

线, 见图 5 中右上图。前驱态吸附机理是分子先预吸附在已吸附分子集团上, 然后通过侧向随机迁移至分子团边缘找到空的吸附位。在这个例子里, 由于 NH_3 分子之间的侧向相互作用, 当 $\theta_{\text{NH}_3} > 0.4$ 单层时, 前驱态吸附几率便会大于 NH_3 直接吸附在 Cu 表面的粘滞系数。图 5 还给出 NH_3 在预吸附氧 Cu 表面上的物理吸附等温线, 由于物理吸附态 NH_3 分子受衬底影响较弱, 因而这两种表面上 NH_3 分子显示出相近的物理吸附动力学行为。

4 结语

我们的实验结果表明激光光声谱既具有理想的能量分辨率, 又具有一定的表面灵敏度, 其相位甄别法能够区分某些系表面不同吸附态, 用于表面吸附研究颇具潜力。该方法对样品条件和测量环境有着较大的适应性, 对表面吸附状态的干扰极小, 是研究实际催化表面和催化过程的有力手段, 亦是研究表面润湿、表面溶解以及表面吸附生长机理的理想实验方法。值得指出的是尽管光声谱受能量转换及样品热扩散速率的制约, 使测量的动态范围受到限制, 但研究表面极薄的吸附层却不受影响。目前, 激光光声谱所受限制是光源波长范围狭窄, 不如 HREELS 能在几千 cm^{-1} 范围内方便地扫描, 若能配以频域宽广的可调激光光源, 便可获得更为理想的实验结果。

致谢: 感谢俞立明, 徐颖, 赵蕾等实验室同仁的共同努力。作者之一感谢导师王迅教授的鼓励和支持。

参 考 文 献

- 1 Rosencwaig A. *Photoacoustics and Photoacoustic Spectroscopy*, Wiley: New York, 1980
- 2 Träger F, Coufal H, Chuang T J. *Phys. Rev. lett.*, 1982; **49**: 1720
- 3 Rothberg L. *J. Phys. Chem.*, 1987; **91**: 3467
- 4 Wu M C, Zhu A R, Wang Z Y. *Phys. Rev.*, 1987; **B 36**: 9824
- 5 Coufal H, Träger F, Chuang T. J. et al. *Surf. Sci.*, 1984; **148**: L504
- 6 吴鸣成, 袁笃平, 朱昂如 et al. *物理学报*, 1987; **36**: 270
- 7 Thronburg D M, Madix R J. *Surf. Sci.*, 1989; **220**: 263

SURFACE ADSORPTION STUDIED BY PHOTOACOUSTIC SPECTROSCOPY*

HU CHANGWU, ZHU ANGRU

(Surface Physics Laboratory, Fudan University, Shanghai 200433, China)

Recent studies of the molecule adsorption on metal surfaces by using photoacoustic spectroscopy have been reported. The superior characteristics of PAS have been demonstrated by the following results: the vibrational spectra for studying physisorption under high exposure pressure; the adsorption mechanism of multilayer growth measured by phase discriminated spectra and the precursor adsorption kinetics analyzed by the adsorption isotherm.

Key words: surface adsorption, molecular vibration, laser, photoacoustic spectroscopy.

* The project supported by National Natural Science Foundation of China.